

Joonis 10.51. Sümmeetrilise ribiplaatristlõike deformatsiooni- ja pingegaotus

Arvutuslik nulljoon ülemises võös

Kui arvutuslik nulljoon on ülemises võös, siis $x \leq 1,25h_f$ ja surveetsooni kõrgus

$$x = \frac{N_{Ed}}{0.8f_{cd}b} \quad (10.178)$$

Tugavuskontroll tähakse p 10.10.1 järgi nagu sümmeetrilise armatuuriga ristikülikristlõikele, mille laiuseks on ribiplaatristlõike võö laius b .

Arvutuslik nulljoon ribis

Kui arvutuslik nulljoon on ribis, siis $1,25h_f < x \leq 1,25(h - h_p)$

Abisuurused.

$$\begin{aligned} \alpha_s &= \frac{f_{yd}\rho}{f_{cd}} & \alpha_{sc,u} &= \frac{\sigma_{sc,u}\rho}{f_{cd}} & \alpha_n &= \frac{N_{Ed}}{f_{cd}b_w d_1} \\ \alpha_{ov} &= \frac{(b - b_w)h_f}{b_w d_1} & \rho &= \frac{A_s}{b_w d_1} & A_{ov} &= (b - b_w)h_f \end{aligned}$$

Tugevustungimuseks on:

$$(Ne)_{Ed} \leq (Ne)_{Rd} = f_{cd}b_w y(d_1 - 0,5y) + f_{cd}A_{ov}(d_1 - 0,5h_f) + \sigma_{s2}A_s(d_1 - d_2) \quad (10.179)$$

Kui valemist (10.178) $x > 1,25h_f$, siis määratatakse surveetsooni kõrgus valemiga

$$x = \frac{N_{Ed} - f_{cd}A_{ov}}{0.8f_{cd}b_w} \quad (10.180)$$

a) Valemist (10.180) $x \leq \xi_c d_1$

a1) Kui $x \geq \xi_{c2} d_2$, on tugevustungimuses (10.179) $\sigma_{s2} = f_{yed}$

a2) Kui $x < \xi_{c2} d_2$, siis surveetsooni täpsustatud kõrgus $x = \xi_c d_1$, kus

$$\xi = \lambda_1 + \sqrt{\lambda_1^2 + \lambda_2} \quad (10.99)$$

$$\lambda_1 = 0,625(\alpha_n - \alpha_{ov} + \alpha_s - \alpha_{sc,u}) \quad (10.181)$$

$$\lambda_2 = 1,25\alpha'_{sc,u}\delta_d \quad (10.182)$$

$$\text{tugevustungimus } \sigma_{s2} = \sigma_{sc,u}(1 - d_2/x) \quad (10.105)$$

b) Valemist (10.180) $x > \xi_c d_1$

b1) Kui $x \geq \xi_{c2} d_2$, siis võetakse ξ määramisel valemis (10.99)

$$\lambda_1 = 0,625(\alpha_n - \alpha_{ov} - \alpha_s - \alpha_{sc,u}) \quad (10.183)$$

$$\lambda_2 = 1,25\alpha'_{sc,u} \quad (10.184)$$

$$\text{tugevustungimus (10.179)} \sigma_{s2} = f_{yed}$$

b2) Kui $x < \xi_{c2} d_2$, siis leitakse ξ samuti valemiga (10.99), kus

$$\lambda_1 = 0,625(\alpha_n - \alpha_{ov} - 2\alpha_{sc,u}) \quad (10.185)$$

$$\lambda_2 = 1,25\alpha'_{sc,u}(1 + \delta_d) \quad (10.186)$$

$$\text{tugevustungimus } \sigma_{s2} = \sigma_{sc,u}(1 - d_2/x) \quad (10.105)$$

Tugevustungimus on:

$$\begin{aligned} (Ne)_{Ed} &\leq (Ne)_{Rd} = f_{cd}b_y(d_1 - 0,5y) - \\ &- f_{cd}A'_{ov}(d_1 - 0,5h_f) + \sigma_{s2}A_s(d_1 - d_2) \end{aligned} \quad (10.187)$$

Survetsooni kõrgus määratatakse valemiga

$$x = \frac{N_{Ed} + f_{cd}A'_{ov}}{0,8f_{cd}b} \quad (10.188)$$

a) Valemist (10.188) saadud $x \leq \xi_c d_1$

a1) Kui $x \geq \xi_{c2} d_2$, on tugevustungimus (10.187)

$$\sigma_{s2} = f_{yed}$$

a2) Kui $x < \xi_{c2} d_2$, siis surveetsooni täpsustatud kõrgus $x = \xi_c d_1$, kus

ξ arvutatakse valemiga (10.99);

$$\lambda_1 = 0,625(\alpha_n + \alpha_{ov} + \alpha_s - \alpha_{sc,u}) \quad (10.189)$$

$$\lambda_2 = 1,25\alpha'_{sc,u}\delta_d \quad (10.190)$$

$$\text{tugevustungimus (10.187)} \sigma_{s2} = \sigma_{sc,u}(1 - d_2/x) \quad (10.105)$$

b) Valemist (10.188) saadud $x > \xi_c d_1$

b1) Kui $x \geq \xi_{c2} d_2$, on surveetsooni kõrgus $x = \xi_c d_1$, kus ξ leitakse valemiga (10.99) ja

$$\lambda_1 = 0,625(\alpha_n + \alpha_{ov} - \alpha_s - \alpha_{sc,u}) \quad (10.191)$$

$$\lambda_2 = 1,25\alpha'_{sc,u} \quad (10.192)$$

$$\text{tugevustungimus (10.187)} \sigma_{s2} = f_{yed}$$

b2) Kui $x < \xi_{c2} d_2$, on surveetsooni kõrgus $x = \xi_c d_1$, kus ξ leitakse valemiga (10.99) ja

$$\lambda_1 = 0,625(\alpha'_n + \alpha'_{ov} - 2\alpha'_{sc,u}) \quad (10.193)$$

$$\lambda_2 = 1,25\alpha'_{sc,u}(1 + \delta_d) \quad (10.194)$$

tugevustungimuses (10.187)

$$\sigma_{s2} = \sigma_{sc,u}(1 - d_2/x) \quad (10.105)$$

Kogu ristiklõige surutud

Kui arvutuslik surveetsoon hõlmab kogu ristiklõike, siis surveetsooni kõrgus $x > 1,25h$.

Ristiklõike kandevõime on tagatud, kui on rahuldatud mõlemad tingimused:

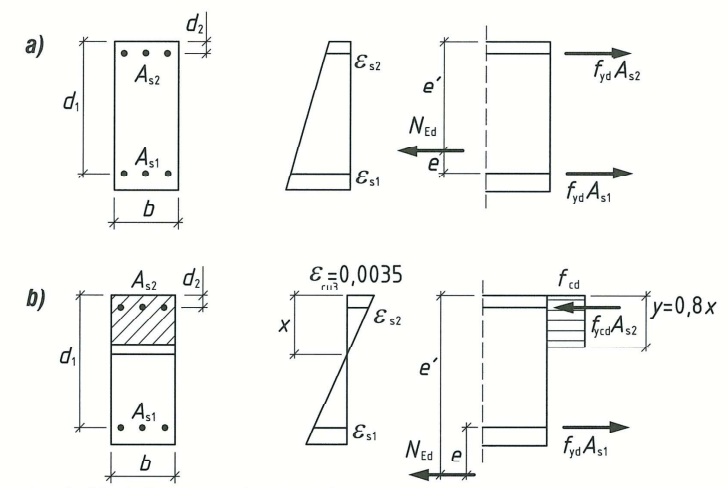
$$N_{Ed} \leq N_{Rd,0} = f_{cd}A_{c0} + 2f_{yed}A_s \quad (10.195)$$

$$\begin{aligned} M_{Ed} &\leq M_{Rd} = \eta f_{cd}S_{c0} + \\ &+ f_{yed}A_s(d_1 - d_2) - N_{Ed}(d_1 - h/2) \end{aligned} \quad (10.196)$$

$$\text{kus } S_{c0} = hb_w(d - 0,5h) + (b - b_w)h_f(d - 0,5h_f) \quad (10.91')$$

10.11. TÖMME

Vaadeldakse ristikülikristlõiget, mille pikiarmaatuur paikneb elemendi sümmeetriapinnaga ristolevate välispindade läheduses (joonis 10.52).



Joonis 10.52. Tõmmatud ristiklõike deformatsiooni- ja pingegaotus. a – väike ekstsentrikus, b – suur ekstsentrikus

Ristlõige võib olla tõmmatud:

- tsentriliselt – pikijoud mõjub elemendi teljel;
- väikese ekstsentrilisusega – pikijoud mõjub tõmbe- ja surveetsooni pikiammatuuri resultantjõu rakenduspunktide vahel ($e' \leq d_1 - d_2$, joonis 10.52, a);
- suure ekstsentrilisusega – pikijoud ei asu tõmbe- ja surveetsooni pikiammatuuri resultantjõu rakenduspunktide vahel ($e' > d_1 - d_2$, joonis 10.52b).

Suure ekstsentrilisuse korral vastab arvutus punkti 10.8 üldsatetele. Erinevalt punktist 10.8 käsitletakse elemente, kus betooni tugevusklass ei ole suurem kui C50/60 ja $f_{ck} \leq 50$ MPa, $\lambda = 0.8$, $\eta = 1.0$, $\epsilon_{cu} = 0.0035$.

Abisuurused.

x surveetsooni kõrgus

$y = 0.8x$ surveetsooni arvutuskõrgus

ξ , ω ja μ vt tabel 10.25

$$\delta_d = \frac{d_2}{d_1}$$

$\sigma_{sc,u} = 700$ MPa

$\alpha_{s1}, \alpha_{s1c,u}, \alpha_{s2c}$ ja $\alpha_{s2c,u}$ vt valemid (10.95)

$\xi_c, \xi_{c2}, \omega_c$ ja μ_c vt tabel 10.24.

10

Tsentriliselt tõmmatud ristlõige

Tugevustingimus on:

$$N_{Ed} \leq N_{Rd} = f_{yd} A_s \quad (10.197)$$

kus A_s kogu pikiammatuuri ristlõikepindala

Väikese ekstsentrilisusega tõmmatud ristlõige

Antud ekstsentrilisuse $e_0 = M_{Ed}/N_{Ed}$ korral on pikijoud ekstsentrilisus armatuuri A_{s2} suhtes $e' = e_0 + 0.5h - d_2$ ja armatuuri A_{s1} suhtes $e = 0.5h - e_0 = d_1 - e'$.

Kandevõime tagamiseks peavad olema rahuldtud tingimused

$$(Ne')_{Ed} \leq (Ne')_{Rd} = f_{yd} A_{s1} (d_1 - d_2) \quad (10.198)$$

$$(Ne)_{Ed} \leq (Ne)_{Rd} = f_{yd} A_{s2} (d_1 - d_2) \quad (10.199)$$

Suure ekstsentrilisusega tõmmatud ristlõige

Antud ekstsentrilisuse e_0 korral

$$e = 0.5h + e_0 - d_1$$

Tugevustingimus on

$$(Ne)_{Ed} \leq (Ne)_{Rd} = f_{cd} b y (d_1 - 0.5y) + \sigma_{s2} A_{s2} (d_1 - d_2) \quad (10.200)$$

Ristlõike tugevuskontroll toimub olenevalt surveetsooni kõrgusest

$$x = \frac{f_{yd} A_{s1} - f_{ycd} A_{s2} - N_{Sd}}{0.8 f_{cd} b} \quad (10.201)$$

$$a) x \leq \xi_c d_1$$

a1) Kui $x \geq \xi_{c2} d_2$, siis tugevustingimuses (10.200)

$$\sigma_{s2} = f_{ycd}$$

a2) Kui $x < \xi_{c2} d_2$, siis surveetsooni täpsustatud kõrgus $x = \xi d_1$, kus

$$\xi = \lambda_1 + \sqrt{\lambda_1^2 + \lambda_2^2} \quad (10.99)$$

$$\lambda_1 = 0.625(\alpha_n + \alpha_{s1} - \alpha_{s2c,u}) \quad (10.202)$$

$$\lambda_2 = 1.25 \alpha_{s2c,u} \delta_d \quad (10.113)$$

$$\sigma_{s2} = \sigma_{sc,u} (1 - d_2/x) \quad (10.105)$$

Kui valemist (10.201) $x < 0$, tehakse tugevuskontroll valemiga (10.198).

b) Kui valemist (10.201) $x > \xi_c d_1$, siis surveetsooni kõrgus $x = \xi d_1$, kus ξ leitakse valemiga (10.99).

b1) Kui $x \geq \xi_{c2} d_2$, siis

$$\lambda_1 = -0.625(\alpha_n + \alpha_{s2c} + \alpha_{s1c,u}) \quad (10.203)$$

$$\lambda_2 = 1.25 \alpha_{s1c,u} \quad (10.116)$$

tugevustingimuses (10.198) $\sigma_{s2} = f_{ycd}$

b2) Kui $x < \xi_{c2} d_2$, siis

$$\lambda_1 = 0.625(-\alpha_n - \alpha_{s1c,u} - \alpha_{s2c,u}) \quad (10.204)$$

$$\lambda_2 = 1.25(\alpha_{s1c,u} + \alpha_{s2c,u} \delta_d) \quad (10.147)$$

$$\text{tugevustingimuses } \sigma_{s2} = \sigma_{sc,u} (1 - d_2/x) \quad (10.105)$$

Kui valemist (10.201) $x > \xi_c d_1$, siis võib kandevõimet kontrollida ka valemiga (10.200), võttes seal $y = 0.8 \xi_c d_1$ ja $\sigma_{s2} = f_{ycd}$.

Sümmeetrilise armeerimise korral võetakse ülatoodud valemites $A_{s1} = A_{s2} = A_s$ ja $\rho_1 = \rho_2 = \rho$. Kandevõimet võib sel juhul kontrollida ka valemiga (10.198), sõltumata ekstsentrilisuse e' suurusest.

Armatuuri dimensioonimine

Arvutus oleneb pikijõu asukohast.

$$a) e' \leq d_1 - d_2$$

$$A_{s1} = \frac{N_{Ed} e'}{f_{yd} (d_1 - d_2)} \quad (10.205)$$

$$A_{s2} = \frac{N_{Ed} e}{f_{yd} (d_1 - d_2)} \quad (10.206)$$

$$b) e' > d_1 - d_2$$

$$A_{s1} = \frac{\omega f_{cd} b d_1 + N_{Ed}}{f_{yd}} + A_{s2} \frac{f_{ycd}}{f_{yd}} \quad (10.207)$$

kus ω võetakse tabelist 10.25 sõltuvalt tegurist

$$\mu = \frac{N_{Ed} e - f_{ycd} A_{s2} (d_1 - d_2)}{f_{cd} b d_1^2} \quad (10.208)$$

Kui valemist (10.208) $\mu > \mu_c$ (μ_c vt. tabel 10.24), siis tuleb suurendada surveetmatuuri ristlõikepinda, ristlõike mõõtmeid või betooni klassi. Kui $\mu < 0$, siis määratatakse armatuuri A_{s1} pindala valemiga (10.205).

Sümmeetrilise armeerimise korral võib armatuuri ristlõikepindala leida valemiga (10.205) sõltumata ekstsentrilisuse e' suurusest.

10.12. NOMOGRAMMID SÜMMETRILISE RISTLÖIKE ARVUTAMISEKS

Sümmeetrilise armatuuri ristkülkilristlõige: normaaljoud ja paindemoment

Joonistel 10.53...10.57 vaadeldakse sümmeetrilise armatuuri ristkülkilristlõiget, kus pikijoud mõjub elemendi sümmeetriatasandis. Nomogrammid võimaldavad antud armatuuri $A_{s,tot} = A_{s1} + A_{s2}$ järgi kontrollida ristlõike kandevõimet ja antud arvutusliku paindemomenti M_{Ed} ning normaaljõu N_{Ed} järgi leida vajalikku pikiammatuuri kogupindala $A_{s,tot}$. Nomogrammid on koostatud, lähtudes betooni parabol-lineaarsest pinge-deformatsiooni diagrammist ja armatuuri piirdeformatsioonist $\epsilon_{ud} = 0.02$. Nomogrammid on võetud abivahendist /15/.

Sümmeetrilise armatuuri ristkülkilristlõige: normaaljoud ja vildakpaine

Joonisel 10.58 vaadeldakse ristlõike nurkades paikneva sümmeetrilise armatuuri ristlõiget, milles mõjub mõlema peatelle suhites ekstsentriline pikisurvejoud. Nomogramm võimaldab antud arvutuslike paindemomentide $M_{Ed,y}$ ja $M_{Ed,z}$ ning normaaljõu N_{Ed} järgi hinnata vajaliku pikiammatuuri kogupindala $A_{s,tot}$. Nomogramm on koostatud, lähtudes betooni parabol-lineaarsest pinge-deformatsiooni diagrammist ja armatuuri piirdeformatsioonist $\epsilon_u = 0.02$. Nomogramm on võetud abivahendist /15/.

Ekstsentriliselt surutud ümarristlõige

Joonistel 10.59 kuni 10.63 toodud nomogrammid võimaldavad ristlõike perimeetril ühtlaselt jaotuda pikiammatuuri $A_{s,tot}$ järgi kontrollida ristlõike kandevõimet ja antud arvutusliku paindemomenti M_{Ed} ning normaaljõu N_{Ed} järgi leida vajalikku armatuuri pindala $A_{s,tot}$. Nomogrammid on võetud kogumikust /16/.

Seoses standardi EN 1992-1-1:2007 rakendumisega on nomogrammidega määratud tulemused usaldusväärised betooni normsurvegusvee $f_{ck} \leq 50$ MPa (betooni tugevusklass kuni C50/60) korral.